

مطالعه کنودونت‌های دونین پسین در برش باغین، باختر کرمان

حسین غلامعلیان^{۱*}، سید محمود حسینی نژاد^۲، زهره خسروی^۳ و ایمان قرکزاده ماهانی^۴

^۱ گروه زمین‌شناسی، دانشکده علوم پایه، دانشگاه هرمزگان، بندرعباس، ایران.

^۲ دانشکده علوم زمین، دانشگاه دامغان، دامغان، ایران.

^۳ بخش زمین‌شناسی، موسسه آموزش عالی کرمان، کرمان، ایران.

تاریخ پذیرش: ۱۳۸۹/۰۳/۱۷

تاریخ دریافت: ۱۳۸۹/۱۲/۱۰

چکیده

مطالعه توالی معادل سازند بهرام در ناحیه باغین نشان‌دهنده سن آخر ژیوپسین پسین است. در این راستا سی و دو گونه و زیر گونه کنودونت شناسایی شده *P. politus*, *Icriodus alternatus*, *Ancyrodella alata*, *An. pristina*, *Polygnathus aspelundi*, *P. aequalis*, *P. subincompletus*, *Ancyrodella alata*, *An. pristina*, *I. iowaensis*, *I. alternatus*, *I. iowaensis* در قاعده سازند بهرام نشان‌دهنده پیشروی دریا در ژیوپسین پسین است. با توجه به ارزش چینه‌شناسی گونه‌های کنودونتی بدست آمده، پنج زیست‌زون در این برش شناسایی شده است که عبارتند از: Lower to Upper *falsiovalis* zones, *transitans* to *punctata* zones, Lower *hassi* to *jamieae* zones, Lower *rhenana* Zone, Upper *rhenana* to *linguiformis* zones

کلیدواژه‌ها: کنودونت، دونین، برش باغین، زیست‌چینه‌نگاری.

*نویسنده مسئول: حسین غلامعلیان

E-mail: hossein.gholamalian@yahoo.com

-۱- مقدمه

سازند بهرام پوشیده می‌شود. Djokovic et al. (1972) تمام لایه‌های یاد شده را به صورت تخریبی‌های جدا شده سیلورین- دونین (SDs) یاد کرد هاند اما Dastanpour (1998) سن تمام این لایه‌ها را کامبرین می‌داند. توالی سازند بهرام در برش باغین ۱۱۸ متر ستریلا دارد و بیشتر شامل سنگ‌آهک‌های نازک‌لایه تا ستریلاه و غنی از سنگواره بازوپا، مرجان و کنودونت است. واحدهای سنگی بررسی شده در این برش به ترتیب عبارتند از:

۱- ۱۶ متر ماسه‌سنگ سفید کواتر آرنایتی

۲- ۷ متر سنگ‌آهک نازک نازک لایه

۳- ۱ متر ریف مرجانی

۴- ۲۴ متر دولومیت آهکی با میان‌لایه‌های شیل

۵- ۷۰ متر سنگ‌آهک نازک تا ستریلاه با میان‌لایه‌های شیل

همان گونه که در بالا آمده است، قاعده سازند بهرام در این منطقه مانند ناحیه هجدک سن ژیوپسین پسین دارد. این در حالی است که همین افق در هوتك سن فرازنین میانی دارد (غلامعلیان، ۱۳۸۵). بخش یاد شده در سه (شمال اصفهان) به سن ژیوپسین پیشین است و در زفره (شمال خاوری اصفهان) حتی به ایفلین می‌رسد (Gholamalian & Kebriaei, 2008; Adhamian, 2003; Brice et al., 2006).

مجموع این داده‌ها نشان می‌دهد که قاعده سازند بهرام چند زمانی است. بررسی کنودونت‌های بدست آمده از سازند بهرام در برش باغین نشان می‌دهد که توالی یاد شده سنی برابر پایان ژیوپسین تا آخر فرازنین دارد. لایه‌های سنگ‌آهکی کرتاسه توسط گسلی بر روی بخش بالایی مقطع رانده شده‌اند و ادامه توالی دونین در این منطقه وجود ندارد. رسوبات دونین در این برش نیز مانند دیگر مناطق استان کرمان و دیگر نواحی ایران (بجز کال سدر طبس) شامل رخساره‌های کربنات و آواری است که در یک سکوی قاره‌ای کم‌ژرف و گسترد نهشته شده‌اند. نمونه این توالی‌ها را می‌توان در بسیاری از نواحی استان کرمان مانند هوتك و هجدک دید (غلامعلیان، 2008; ۱۳۸۵). همچنین مناطقی مانند آباده، ازبک‌کوه، دهید و زرند نیز چنین وضعیتی دارند (Ashouri, 2002; Yazdi et al., 2000; Wendt et al., 2002; 2005) سدر (خاور طبس) بخش مربوط به فرازنین و فامین پیشین همین وضع را دارد

در طول سال‌های گذشته، مطالعات دیرینه‌شناسی روی توالی‌های دونین استان کرمان صورت گرفته که از آن جمله می‌توان به (Huckriede et al. (1962) همچنین داستان‌پور (۱۳۷۵) مرجان‌های موجود در برش گریک را بررسی کرده است و Dastanpour & Aftabi (2002) این چینه‌ها را از دیدگاه ژئوشیمیایی مورد ارزیابی قرار داده‌اند. اما با این همه، بررسی‌های اندکی روی مجموعه‌های کنودونتی صورت گرفته است و انجام چنین پژوهشی لازم به نظر می‌رسد.

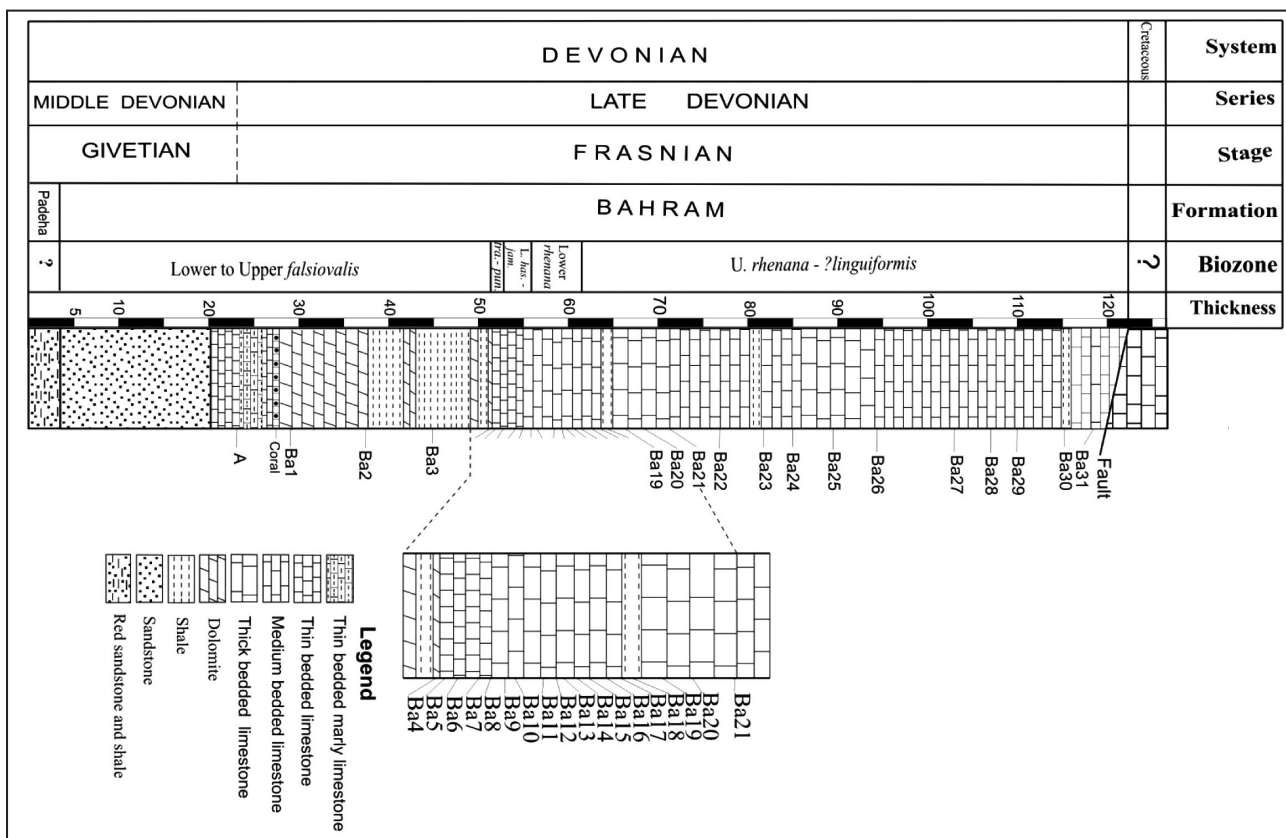
برش باغین واقع در باختر کرمان از برش‌هایی است که با وجود زیای غنی از کنودونت، بازوپا و مرجان، تاکنون کمتر مورد بررسی زیست‌چینه‌ای قرار گرفته است. تنها مطالعات انجام شده روی آن توسط Dastanpour (1998) و اسکندری (۱۳۷۷) است که بازوپایان موجود در آن را بررسی کرده‌اند. در راستای انجام این پژوهش، ۳۲ نمونه چهار کیلوگرمی با فاصله‌های میانگین ۳ تا ۴ متر از یکدیگر برداشته شد که پس از خرد کردن و انحلال توسط اسید استیک، ۲۰ عدد از آنها کنودونت داشتند. ۳۲ گونه و زیر گونه کنودونت در این لایه‌ها شناسایی شده که در پنج زیست‌زون دسته‌بندی شده‌اند.

-۲- موقعیت جغرافیایی

برش باغین در ۲۰ کیلومتری باختر کرمان و ۵ کیلومتری شمال خاوری شهر باغین قرار دارد (شکل ۱). مقطع یاد شده در کنار یک معدن سیلیس قرار دارد و بهترین راه برای دسترسی به آن هم جاده همین معدن است. مختصات جغرافیایی این برش بدین صورت است: N30°, 12', 59"; E56°, 51', 13"

-۳- چینه‌نگاری

این برش در نقشه زمین‌شناسی باغین به مقیاس ۱/۱۰۰۰۰۰ قرار گرفته است (Djokovic et al., 1972). توالی شیلی و ماسه‌سنگی سرخ کامبرین پیشین (سازندهای زاگون و لالون) کهن‌ترین واحد چینه‌ای در این منطقه است که با یک نایپوستگی فرسایشی توسط سازند پادها پوشیده می‌شود. سازند پادها در این ناحیه شامل تناوب شیل، ماسه‌سنگ و گل‌سنگ سرخ همراه با میان‌لایه‌های گچ است که با یک مرز پیوسته و ناگهانی توسط ماسه‌سنگ‌های سفید کوارتز آرنایتی مربوط به قاعده



ل = Lower, U = Upper, Iran = ایران، سوییں = سویں چینہ، کاری برس = پائیں همراه با ریسسر (ون) های شناسی شد، *transitans, punc = punctata, has = hassi, jam = jamicae*.

شکل ۱ - (الف) نقشه زمین شناسی ناحیه مورد مطالعه (Djokovic et al., 1972) و (ب) موقعیت جغرافیایی برش باعین.

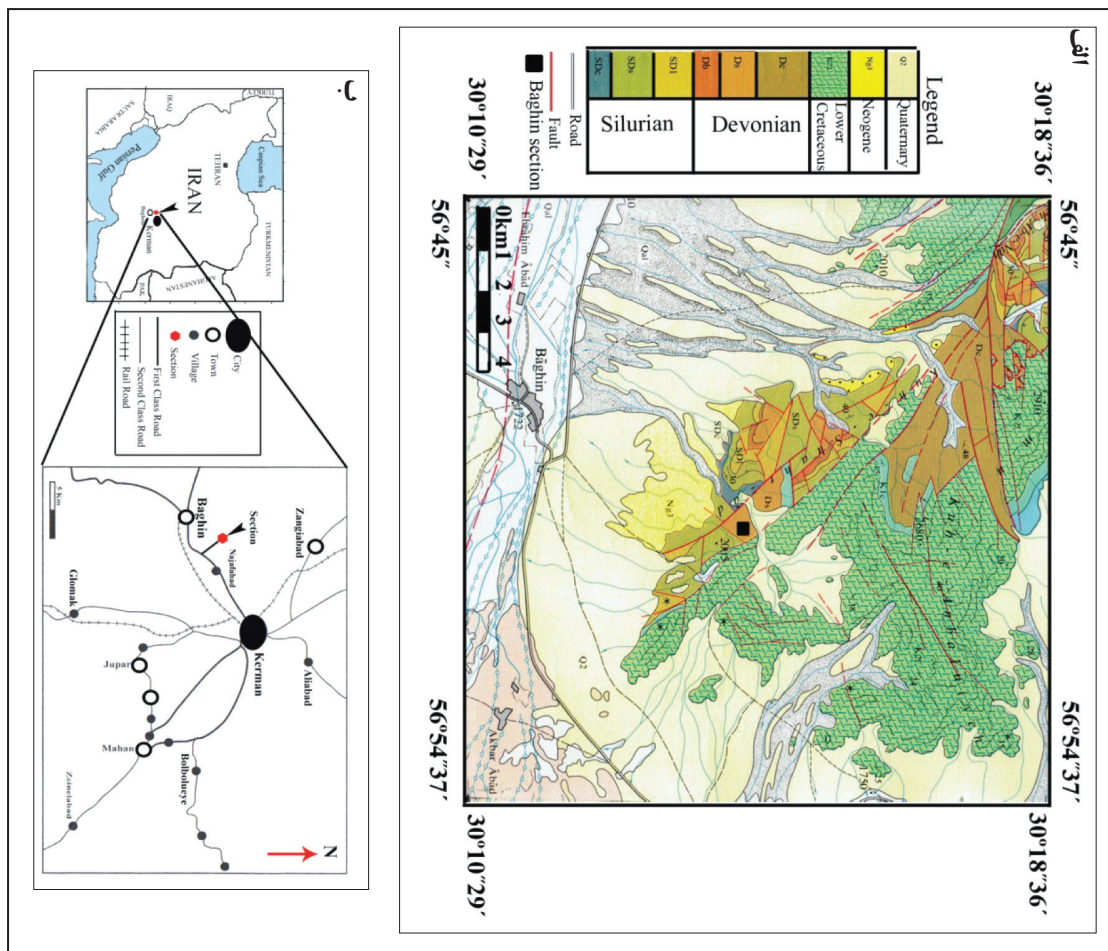
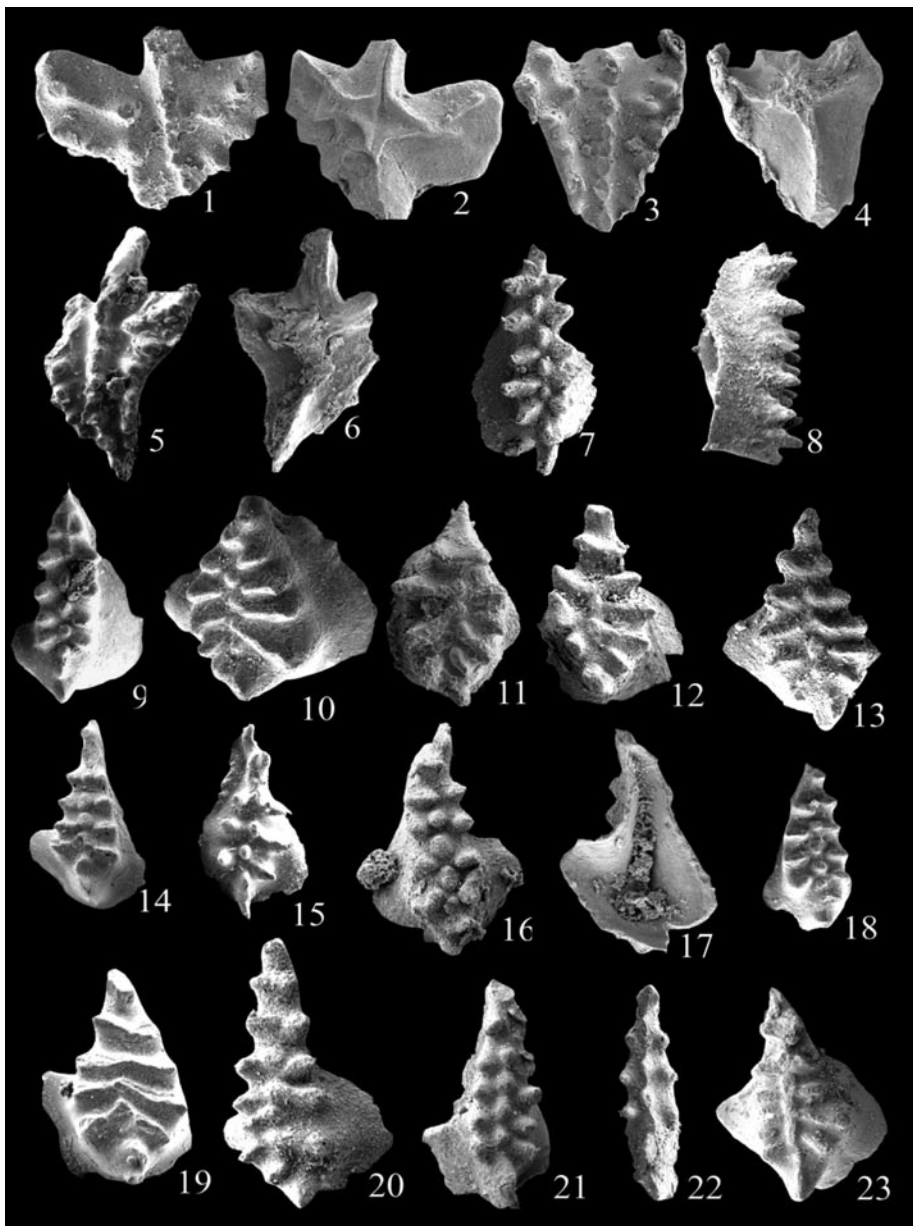


Plate1



Figs.1-2 - *Ancyrodella alata* Glenister et Klapper, 1966: 1) Upper view, $\times 125$, Sample A; 2) Lower view, $\times 125$, Sample A.

Figs.3-6 - *Ancyrodella pristina* Khalymbadzha and Tchernyshova, 1970: 3) Upper view, $\times 118$, Sample A; 4) Lower view, $\times 114$, Sample A; 5) Upper view, $\times 76$, Sample A; 6) Lower view, $\times 76$, Sample A.

Figs.7 - 9 - *Icriodus alternatus alternatus* Branson and Mehl, 1934a: 7) Upper view, $\times 159$, Sample Ba15; 8) Lateral view, $\times 121$, Sample Ba15; 9) Upper view, $\times 131$, Sample Ba15.

Figs.10-13 - *Icriodus excavatus* Weddige 1984: 10) Upper view, $\times 116$, Sample Ba9; 11) Upper view, $\times 224$, Sample Ba7; 12) Upper view, $\times 151$, Sample Ba15; 13) Upper view, $\times 156$, Sample Ba16.

Figs.14-15 - *Icriodus aff. excavatus* Weddige 1984: 14) Upper view, $\times 115$, Sample Ba15; 15) Upper view, $\times 268$, Sample Ba19.

Figs.16-17 - *Icriodus expansus* Branson and Mehl 1938: 16) Upper view, $\times 113$, Sample Ba15; 17) Lower view, $\times 148$, Sample Ba15.

Fig. 18- *Icriodus cf. expansus* Branson and Mehl, 1938: 18) Upper view, $\times 119$, Sample A.

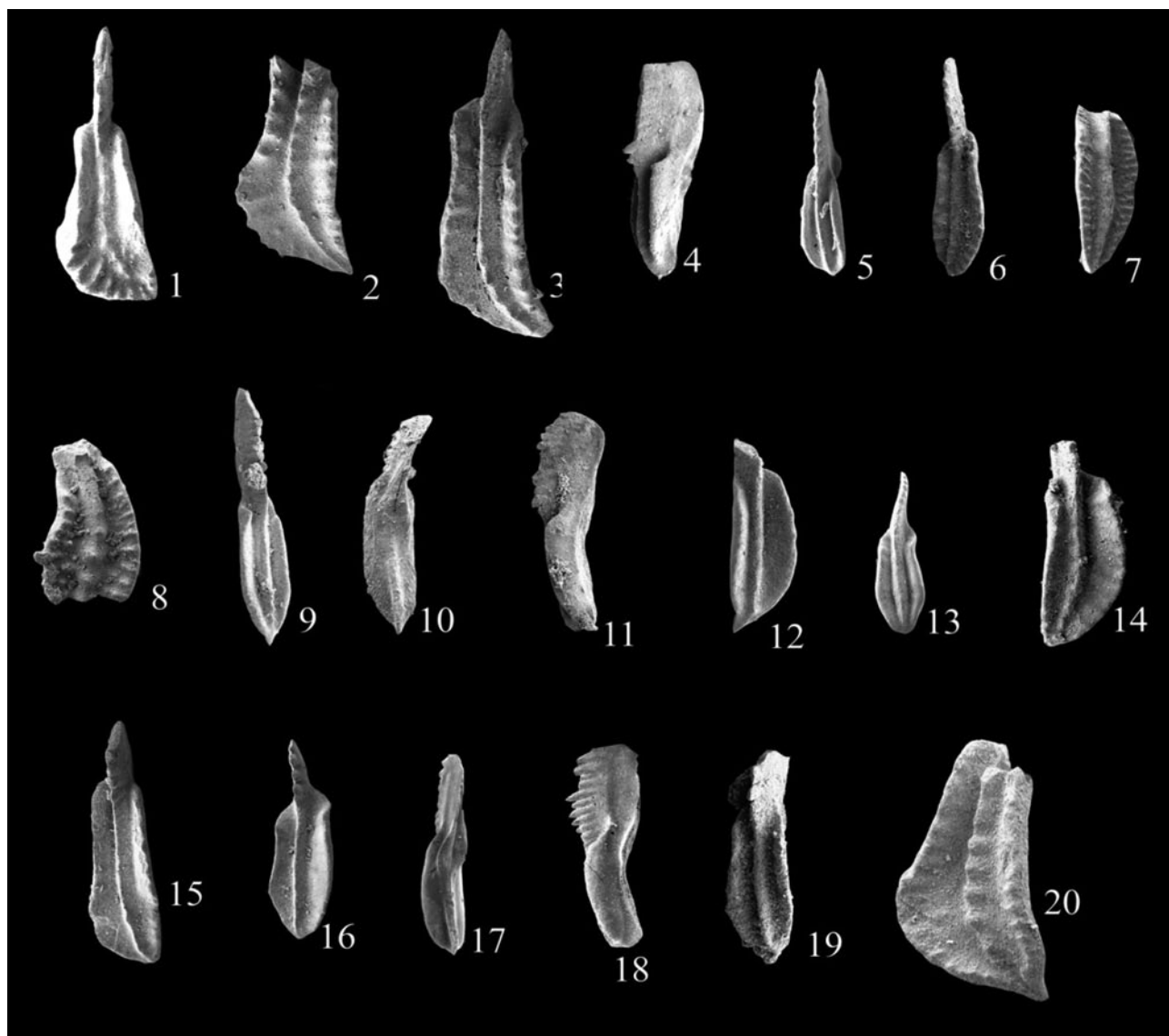
Fig. 19 - *Icriodus iowaensis iowaensis* Youngquist and Peterson, 1947: 19) Upper view, $\times 119$, Sample Ba15.

Figs. 20-21- *Icriodus symmetricus* Branson and Mehl 1934: 20) Upper view, $\times 86$, Sample Ba9; 21) Upper view, $\times 139$, Sample A.

Fig. 22- *Icriodus vitabilis* Nazarova, 1997; Upper view, $\times 228$, Sample A.

Fig. 23- *Icriodus* sp.; Upper view, $\times 95$, Sample Ba6.

Plate2



Figs. 1-3- *Polygnathus aequalis* Klapper and Lane, 1985: 1) Upper view, $\times 62$, Sample Ba6; 2) Upper view, $\times 83$, Sample Ba6; 3) Upper view, $\times 136$, Sample Ba15.

Figs. 4- 5- *Polygnathus aspelundi* Savage and Funai, 1980: 4) Upper view, $\times 128$, Sample Ba9; 5) Upper view, $\times 217$, Sample Ba15.

Figs. 6-7- *Polygnathus dubius* Hinde, 1879: 6) Upper view, $\times 87$, Sample Ba7; 7) Upper view, $\times 94$, Sample A.

Fig. 8- *Polygnathus ovatinodosus* Ziegler & Klapper, 1976: 8) Upper view, $\times 132$, Sample A.

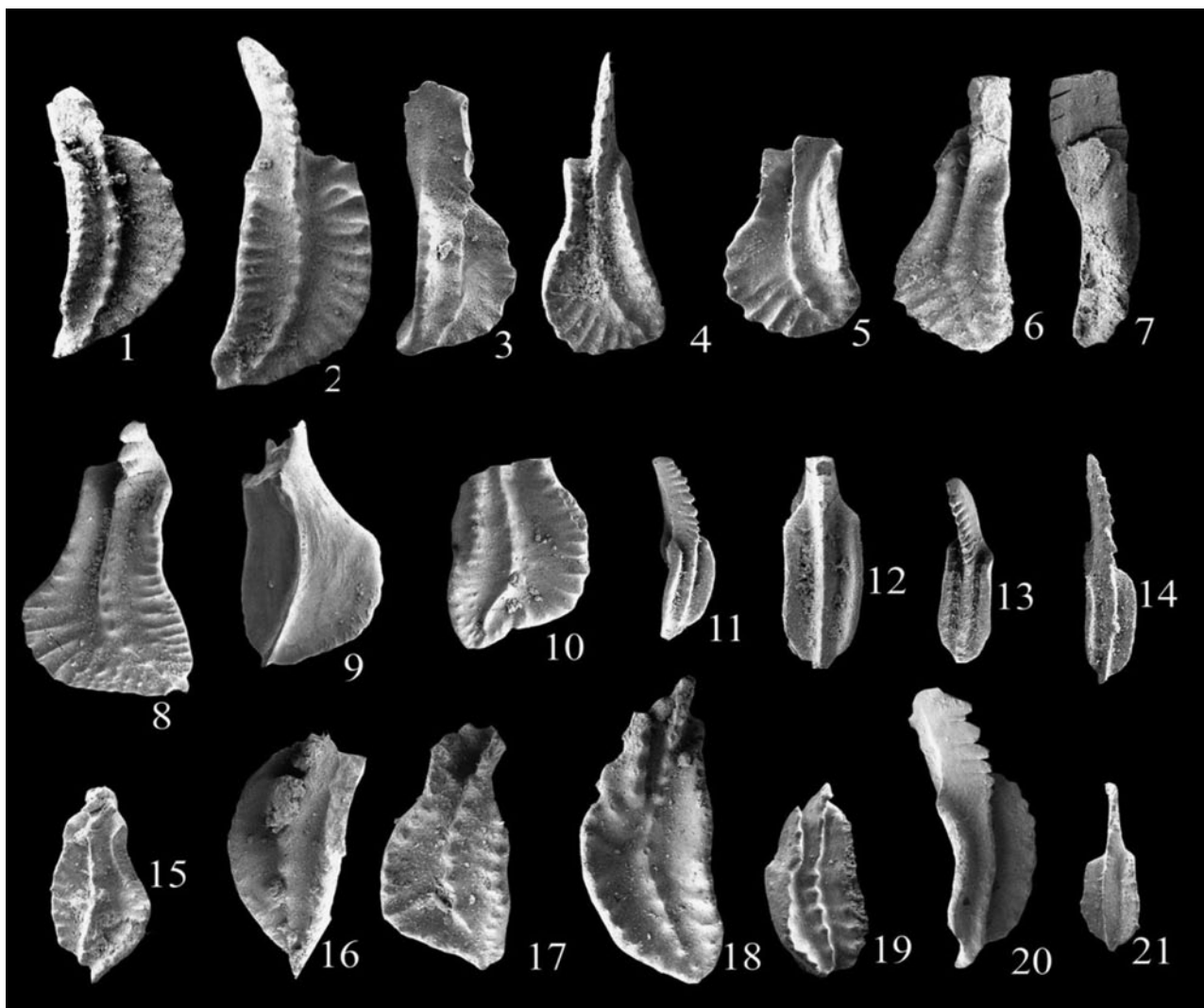
Figs. 9-12- *Polygnathus politus* Ovnatanova, 1969: 9) Upper view, $\times 104$, Sample Ba9; 10) Lower view, $\times 112$, Sample Ba9; 11) Lateral view, $\times 126$, Sample Ba9; 12) Upper view, $\times 119$, Sample Ba15.

Fig. 13- *Polygnathus aff. Politus* Ovnatanova, 1969: 13) Upper view, $\times 79$, Sample Ba15.

Figs. 14-19- *Polygnathus praepolitus* Kononova, Alekseev, Barskov et Reimers, 1996: 14) Upper view, $\times 91$, Sample Ba6; 15) Upper view, $\times 127$, Sample Ba7; 16) Lower view, $\times 93$, Sample Ba9; 17) Lower view, $\times 157$, Sample Ba15; 18) Lateral view, $\times 130$, Sample Ba15; 19) Upper view, $\times 168$, Sample Ba16.

Fig. 20- *Polygnathus subincompletus* Ovnatanova et Kononova, 1996: 20) Upper view, $\times 67$, Sample Ba10.

Plate3



Figs. 1-4- *Polygnathus webbi* Stauffer, 1938: 1) Upper view, $\times 68$, Sample Ba6; 2) Upper view, $\times 52$, Sample Ba9; 3) Upper view, $\times 86$, Sample Ba15; 4) Upper view, $\times 57$, Sample Ba9.

Figs. 5-9- *Polygnathus aff. webbi* Stauffer, 1938: 5) Upper view, $\times 75$, Sample Ba9; 6) Upper view, $\times 64$, Sample Ba9; 7) Lateral view, $\times 76$, Sample Ba9; 8) Upper view, $\times 58$, Sample Ba9; 9) Lower view, $\times 89$, Sample Ba9.

Fig. 10- *Polygnathus cf. webbi* Stauffer, 1938: 10) Upper view, $\times 72$, Sample Ba9.

Fig. 11- *Polygnathus xylus* Stauffer, 1938; 11) Upper view, $\times 94$, Sample Ba6.

Figs 12-14- *Polygnathus xylus* Stauffer, 1938 → *praepolitus* Kononova, Alekseev, Barskov et Reimers, 1996: 12) Upper view, $\times 196$, Sample Ba15; 13) Upper view, $\times 116$, Sample Ba15; 14) Upper view, $\times 193$, Sample Ba16.

Fig. 15- *Polygnathus* sp. A: 15) Upper view, $\times 96$, Sample A.

Fig. 16- *Polygnathus* sp. B: 16) Upper view, $\times 132$, Sample A.

Fig. 17- *Polygnathus* sp. C: 17) Upper view, $\times 74$, Sample Ba6.

Fig. 18- *Polygnathus* sp. D: 18) Upper view, $\times 78$, Sample Ba6.

Fig. 19- *Polygnathus* sp. E: 19) Upper view, $\times 70$, Sample Ba15.

Fig. 20- *Polygnathus* sp. F: 20) Upper view, $\times 167$, Sample Ba19.

Fig. 21- *Polygnathus* sp. G: 21) Upper view, $\times 110$, Sample Ba20.

جدول ۱- پراکندهای کنودونت در برش باعین، *L. falcifolius*, *tra - pun*, *L. hassi - jamteae*, *Lower rhenana*, *Upper rhenana* - *?linguiformis*

Species	Zones		<i>L-U falcifolius</i>		<i>tra - pun</i>		<i>L. hassi - jamteae</i>		Lower		<i>rhenana</i>		Upper		<i>rhenana</i>		-		<i>?linguiformis</i>		
	Samples	A	Ba4	Ba5	Ba6	Ba7	Ba8	Ba9	Ba10	Ba11	Ba12	Ba13	Ba14	Ba15	Ba16	Ba17	Ba18	Ba19	Ba20	Ba21	Ba24
1 <i>Ancyrodella pristina</i>		▼	4																		
2 <i>Ad. alata</i>		▼	2																		
3 <i>Polygnathus dubius</i>			1						12	1		2									
4 <i>P. ovatinoodus</i>			1																		
5 <i>Icerodus vitabilis</i>			3						35	1	1	3	▲								
6 <i>I. symmetricus</i>			9								5										
7 <i>I. cf. expansus</i>			1							3											
8 <i>P. webbi</i>			2			5			27	4		34	1	2				6	4	1	
9 <i>I. expansus</i>			1					52												1	
10 <i>P. aequalis</i>		▼	2		13	1		9									1				1
11 <i>P. subincomptus</i>			1		7			1	2												
12 <i>P. xylo</i>	-		1		47	2		3	~												
13 <i>P. aspelundi</i>			▼	4				9					1		4	6				2	
14 <i>P. aff. webbi</i>			7	1							2		7							1	
15 <i>I. excavatus</i>			48	1		39							32	▲							
16 <i>P. preapolitus</i>			16	4	1	52					2		20	10					1		
17 <i>P. cf. webbi</i>			1			2															
18 <i>Palmatolepis</i> sp.				1																	
19 <i>P. politus</i>					▼	27						22	4								
20 <i>I. alternans alternans</i>						▼	43		1		2	1	42	8		8			5	5	
21 <i>I. ionoensis ionoensis</i>												▼	5	1	2	1	1	1	3		
22 <i>I. aff. excavatus</i>													1		2						
23 <i>P. xylo</i> → <i>P. preapolitus</i>																					
24 <i>P. aff. politus</i>																					
25 <i>P. sp. A</i>			1																		
26 <i>P. sp. B</i>			1																		
27 <i>P. sp. C</i>				1																	
28 <i>P. sp. D</i>				1													1				
29 <i>P. sp. E</i>																					
30 <i>P. sp. F</i>																					
31 <i>P. sp. G</i>																		1	1		
32 <i>I. sp.</i>					5																
33 Unassigned element			10	2	3	230	3	4	235	14	3	2	15	7	88	21	2	9	8	6	2
34 Total			33	5	12	514	19	9	464	17	6	4	21	8	235	54	3	19	17	14	4
35 Biofacies		I-P		P	P-I		P	P-I		P	P-I		P	P-I		I-P	P-I				

کتابخانه

- اسکندری، م.، ۱۳۷۷- مطالعه بازوپایان دونین کرمان و مقایسه آنها با سنگواره‌های مناطق طبس، البرز و جنوب غرب افغانستان. پایان‌نامه کارشناسی ارشد دانشگاه شهید باهنر کرمان.
- داستان‌بور، م.، ۱۳۷۵- ریف مرجانی دونین پسین در شمال کرمان. مجله علوم دانشگاه تهران، جلد ۲۲، شماره ۱، صفحه ۱-۱۱، تهران.
- غلامعلیان، ح.، ۱۳۸۵- زیست‌چینه‌شناسی توالی دونین پسین در برش هوتك (شمال کرمان) براساس کنودوت‌ها، فصلنامه علمی-پژوهشی علوم زمین، سازمان زمین‌شناسی کشور. سال ۱۵، شماره ۵۹، صفحه ۹۴-۱۰۱، تهران.

References

- Adhamian, A., 2003- Middle Devonian (Givetian) conodont biostratigraphy in the Soh area, North of Esfahan, Iran. Courier Forschungsinstitut Senckenberg, No. 245, 183-193, Frankfurt am Main.
- Ashouri, A. R., 2002- Palmatolepis (Conodonta; Late Devonian) from Tabas region, eastern Iran. Iranian International Journal of Sciences, 3, 187-220, Tehran.
- Brice, D., Yazdi, M., Toraby, H. & Maleki, A., 2006- Devonian brachiopods from Zefreh section, Central Iran. Annales de la Société Géologique du Nord, No. 13, 141-155, Lille.
- Djokovic, I., Dmitrijevic, M. N., Cukucan, M., Grabeljsek, V., Martinovic, D., Milosakovic, R., Skuletic, T., Halaviati, J. & Markovic, B., 1972- Geological map of Baghin (1/100000): Geological Survey of Iran, sheet no. 7350.
- Dastanpour, M., 1998- Study on Upper Devonian brachiopods of Northeast of Baghin - Kerman. Journal of Sciences, Tehran University, Vol. 24, No. 1, p. 13- 27.
- Dastanpour, M. & Aftabi, A., 2002- The cause of biomass extinction at the Frasnian - Famennian boundary, the Kerman Province southeastern Central Iran. Jour. of Science, Islamic Republic of Iran, Vol. 13, No.1, 45-49, Tehran.
- Gholamalian, H. & Kebriaei M. R., 2008- Late Devonian conodonts from the Hojedk section, Kerman Province, southeastern Iran. Rivista Italiana di Paleontologia e Stratigraphia, vol. 114, No.2, 171-181, Milan.
- Gholamalian, H., Ghorbani, M. & Sajadi, S. H., 2009- Famennian conodonts from Kal-e-Sardar section, eastern Tabas, Central Iran. Rivista Italiana di Paleontologia e Stratigraphia, Vol. 115, No.2, 141-158, Milan.
- Huckriede, R., Kürsten, M. & Venzlaff, H., 1962- Zur Geologie des Gebietes zwischen Kerman und Saghand (Iran). Beihefte zum Geologischen Jahrbuch, Vol. 51, 197 pp. Hannover.
- Ji, Q. & Ziegler, W., 1993- The Lalli section: An excellent reference section for Upper Devonian in south China: Courier Forschungsinstitut Senckenberg, Vol. 157, 183 p.
- Ovnatanova, N. S. & Kononova, L. I., 2001- Conodonts and Upper Devonian (Frasnian) biostratigraphy of central regions of Russian platform. Courier Forschungsinstitut Senckenberg, Vol. 233, 115 p.
- Ovnatanova, N. S. & Kononova, L. I. , 2008- Frasnian Conodonts from the Eastern Russian Platform. Paleontological Journal, Vol. 42, No. 10, 997-1166, Moscow.
- Sandberg, C. A., Ziegler, W. & Bultynck, P., 1989- New Standard Conodont zones and Ancyrodella Phylogeny across Middle - Upper Devonian Boundary. Courier Forschungsinstitut Senckenberg, Vol. 110, 195- 230.
- Wendt, J., Kaufmann, B., Belka, Z., Farsan, N. & Karimi Bavandpour, A., 2002- Devonian/Lower Carboniferous stratigraphy, facies patterns and palaeogeography of Iran, part I, southeastern Iran: Acta Geologica Polonica, Vol. 52, No. 2, 129-168, Warszawa.
- Wendt, J., Kaufmann B., Belka, Z., Farsan, N. & Karimi Bavandpour, A., 2005- Devonian/Lower Carboniferous stratigraphy, facies patterns and palaeogeography of Iran, part II, northern and central Iran. Acta Geologica Polonica, Vol. 55, No. 1, 31-97, Warszawa.
- Yazdi, M., Meysami, A., Mannani, M., Bakhshaei, M. H. & Mawson, R., 2000- Famennian conodonts from the Esteghlal Refractories Mine, Abadeh area, south-central Iran. Records of Western Australian Museum Supplement 58, 197-209.
- Ziegler, W. & Sandberg, C. A., 1990- Late Devonian standard conodont zonation. In: W. Ziegler (ed.), First International Senckenberg Conference and 5th European conodont Symposium Contribution (ECOS V): Courier Forschungsinstitut Senckenberg,, Vol. 121, 115 p., Frankfurt am Main.
- Ziegler, W. & Sandberg, C. A., 2000- Utility of palmatolepids and icriodonids in recognizing Upper Devonian series, stages and possible substage boundaries. Courier Forschungsinstitut Senckenberg, Vol. 225, p. 335-337, Frankfurt am Main.